

# Nowoczesne technologie materiałowe stosowane w przemyśle lotniczym Modern material technologies in aerospace industry

## Materiały lotnicze o zaawansowanej strukturze (monokryształ, krystalizacja kierunkowa) Aeronautical materials of advanced structure (monocrystal, directional crystallization)

Politechnika Rzeszowska, Politechnika Śląska, Politechnika Warszawska, Uniwersytet Rzeszowski

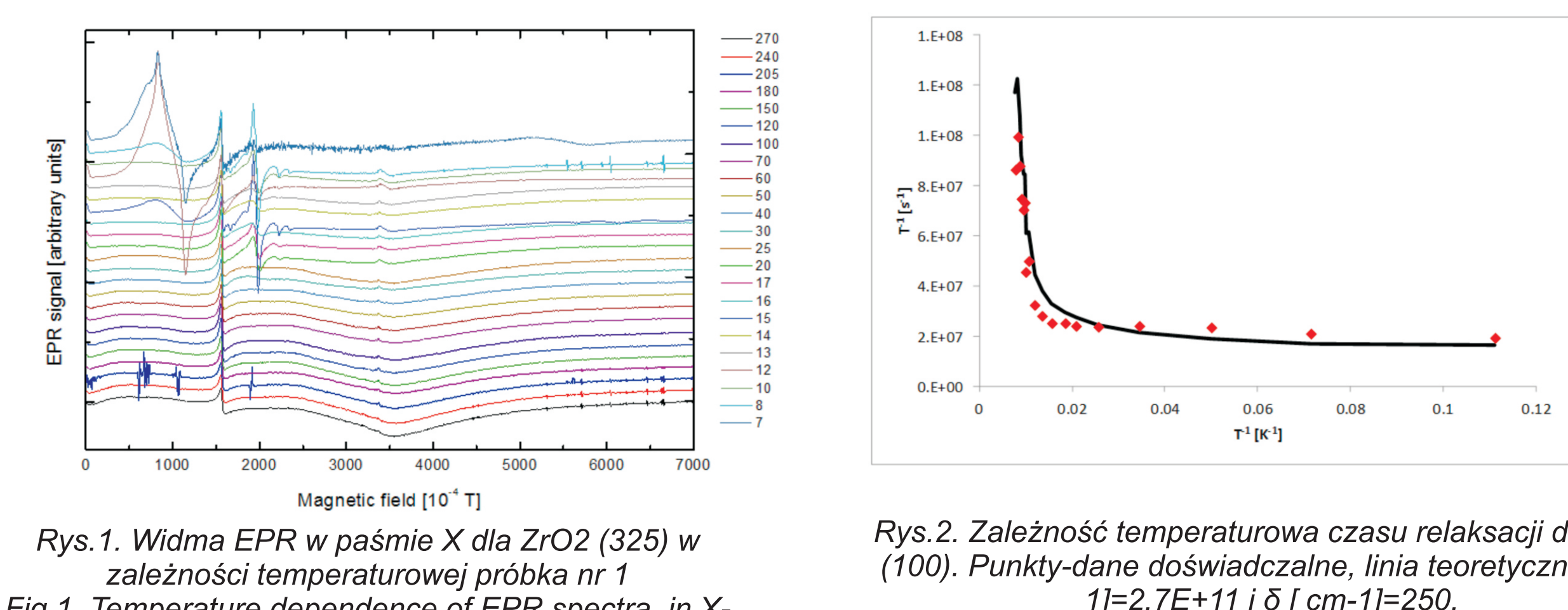
### Wyniki badań Results

#### Badanie metodą EPR materiałów na rdzenie i formy

#### Testing of materials for ceramic cores and forms by EPR method

##### Materiały do badań

Metodą EPR badano proszki stosowane na rdzenie i formy ceramiczne takie jak: Al<sub>2</sub>O<sub>3</sub>, ZrO<sub>2</sub> i mullit o różnej wielkości ziaren oraz pochodzące z różnych partii i od różnych dostawców w paśmie X i w funkcji temperatury (4K-300K). Z każdej partii wybrano po 4 próbki o masie 0,02g do pomiarów w paśmie X.



### Wnioski Conclusions

Metoda EPR umożliwia pomiary zanieczyszczeń Fe i Cr na poziomie dotychczas niemożliwym do detekcji w oparciu o standardowe metody pomiarowe. Dodatkowym kryterium identyfikacji centrów paramagnetycznych są pomiary temperaturowe i ich zgodność z określonym modelem np. Orbacha. Ponizej temperatury 50K zaobserwowano pojawianie się nowych defektów w próbkach ZrO<sub>2</sub> i Al<sub>2</sub>O<sub>3</sub>. Defekty te mogą pełnić ważną rolę w obniżeniu wytrzymałości rdzeni i form ceramicznych na gwałtowne zmiany temperatury.

Tlenki pierwiastków 3d-przejściowych typu Me<sub>2</sub>O<sub>3</sub> dla mullitu powstają poprzez izomorficzny mechanizm zastąpienia atomów glinu metalu przejściowym w oktaedrycznych pozycjach sieci krystalicznej mullitu. Koncentracja metalu przejściowego w stałym rozrozworze jest określona przez właściwości strukturalne i chemiczne kryształów odpowiedniego tlenku.

EPR method allows the measurement of Fe and Cr impurities at previously impossible to detect using standard methods of measurement. An additional criterion for identifying paramagnetic centers are temperature measurement and analysis of compliance with the specified model (eg. Orbach). Below the temperature of 50K was observed the appearance of new defects in samples of ZrO<sub>2</sub> and Al<sub>2</sub>O<sub>3</sub>. These defects may play an important role in the reduction in the strength of cores and ceramic forms to rapid changes in temperature. Oxides of 3d-transition elements of composition Me<sub>2</sub>O<sub>3</sub> form mullite-based solid solutions via mechanism of isomorphic- isovalent replacement of aluminum atoms by a transition metal at octahedral positions of the crystal lattice of mullite. The concentration of a transition metal in the solid solution is determined by structural and crystal chemical properties of the corresponding oxide.

### Wyniki badań Results

#### Wpływ rodzaju upłynniciaka oraz pH zawiesin na potencjał (zeta) proszków formierskich

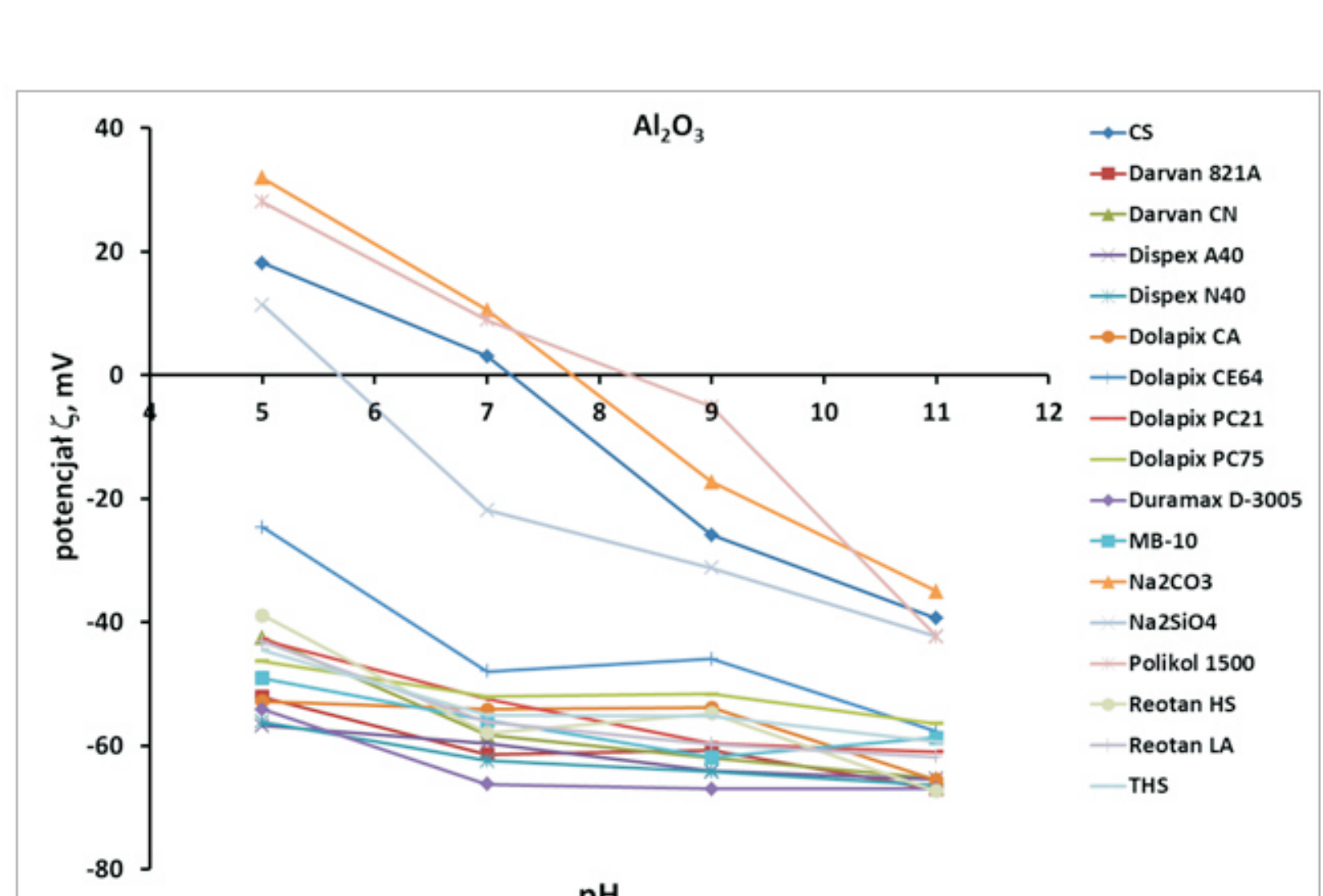
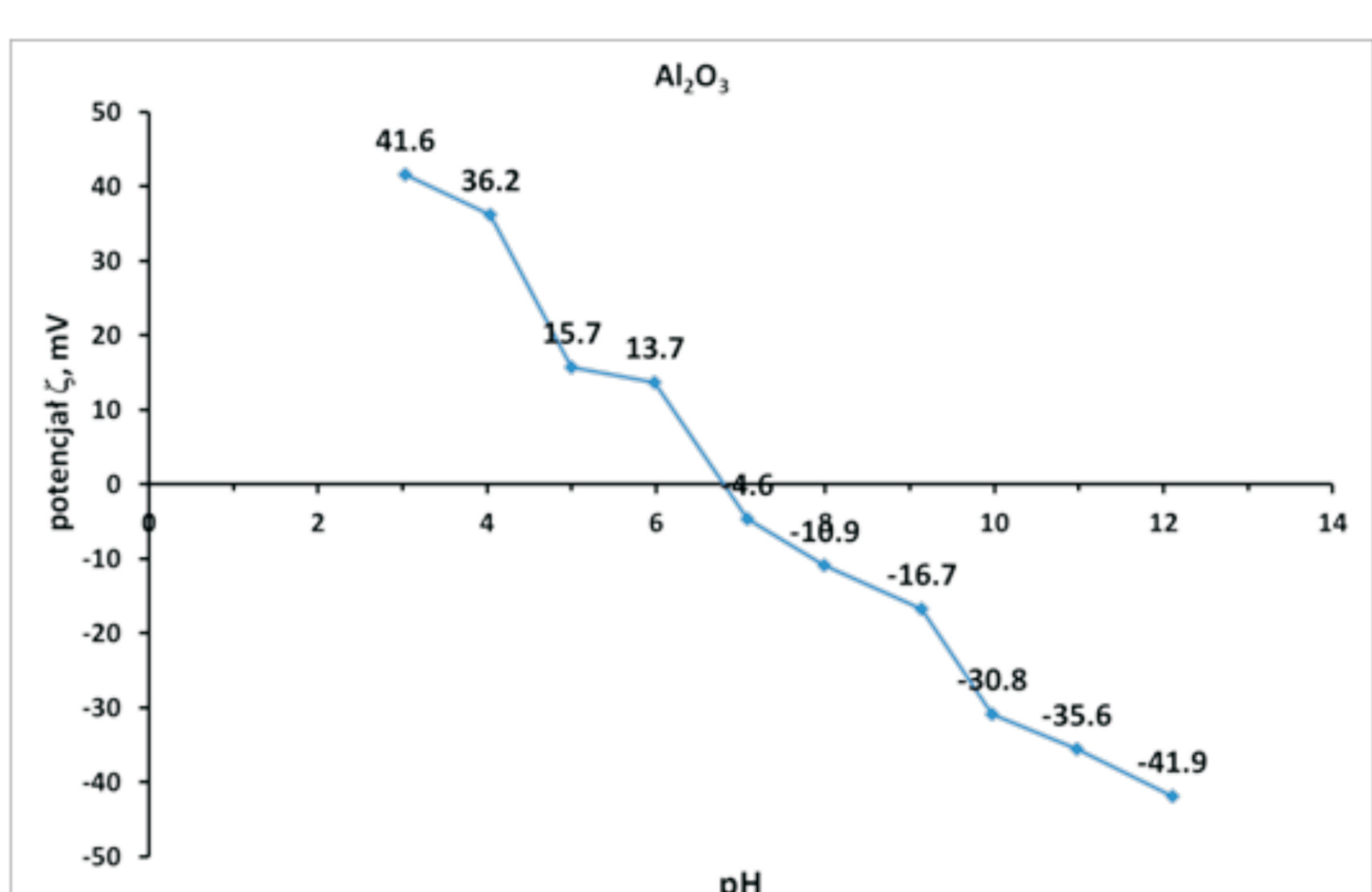
#### Influence of the kind of deflocculant on zeta potential of form powders

Celem badań było określenie wpływu rodzaju upłynniciaka oraz pH zawiesin na potencjał (zeta) dostarczonych proszków formierskich, oraz dokonanie na ich podstawie wyboru najbardziej efektywnie działających upłynniciacy.

Tabela 1. Charakterystyka stosowanych komercyjnych upłynniciacy  
Table 1. Characteristics of deflocculants used in the studies

#### Wyniki potencjału zeta

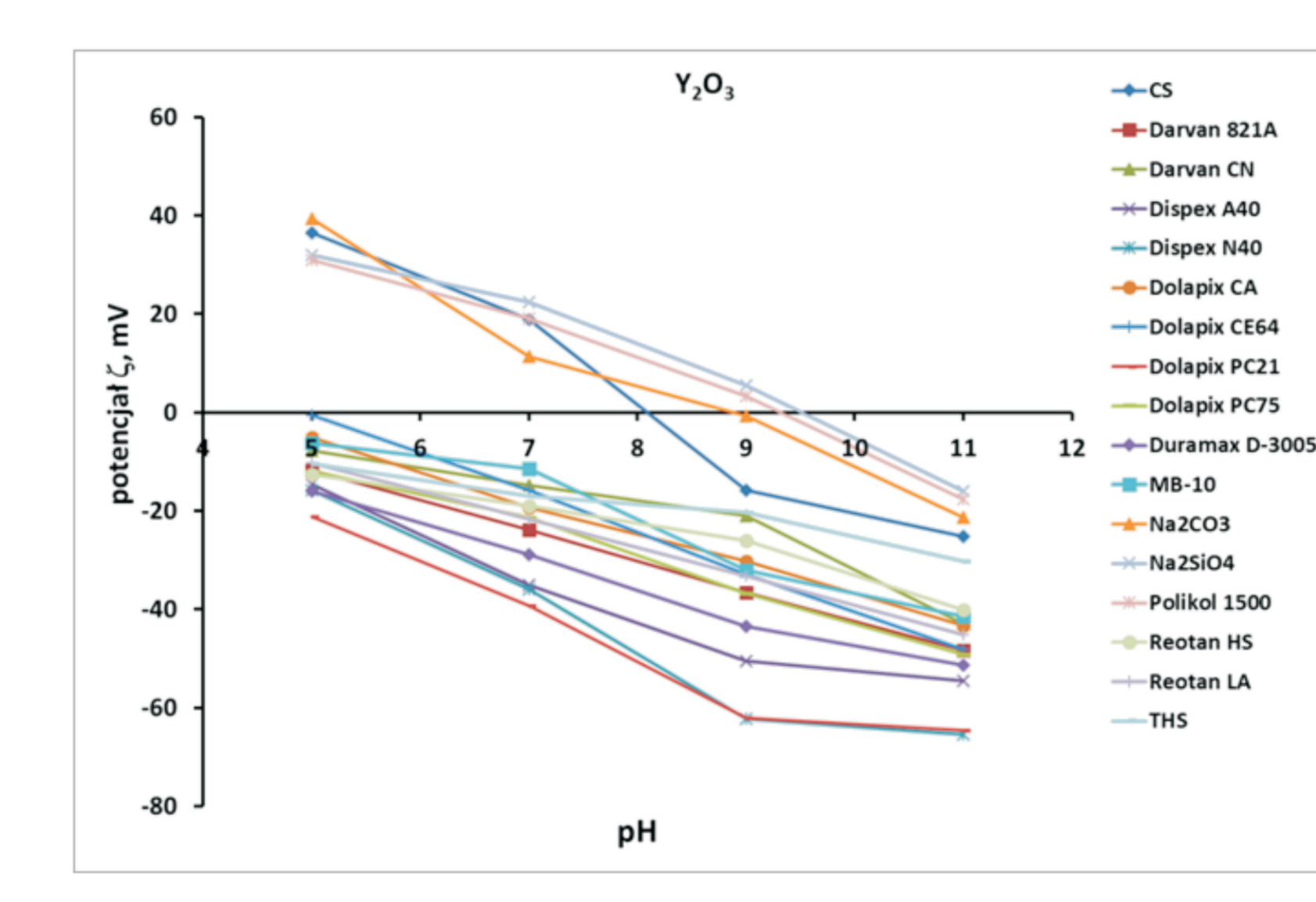
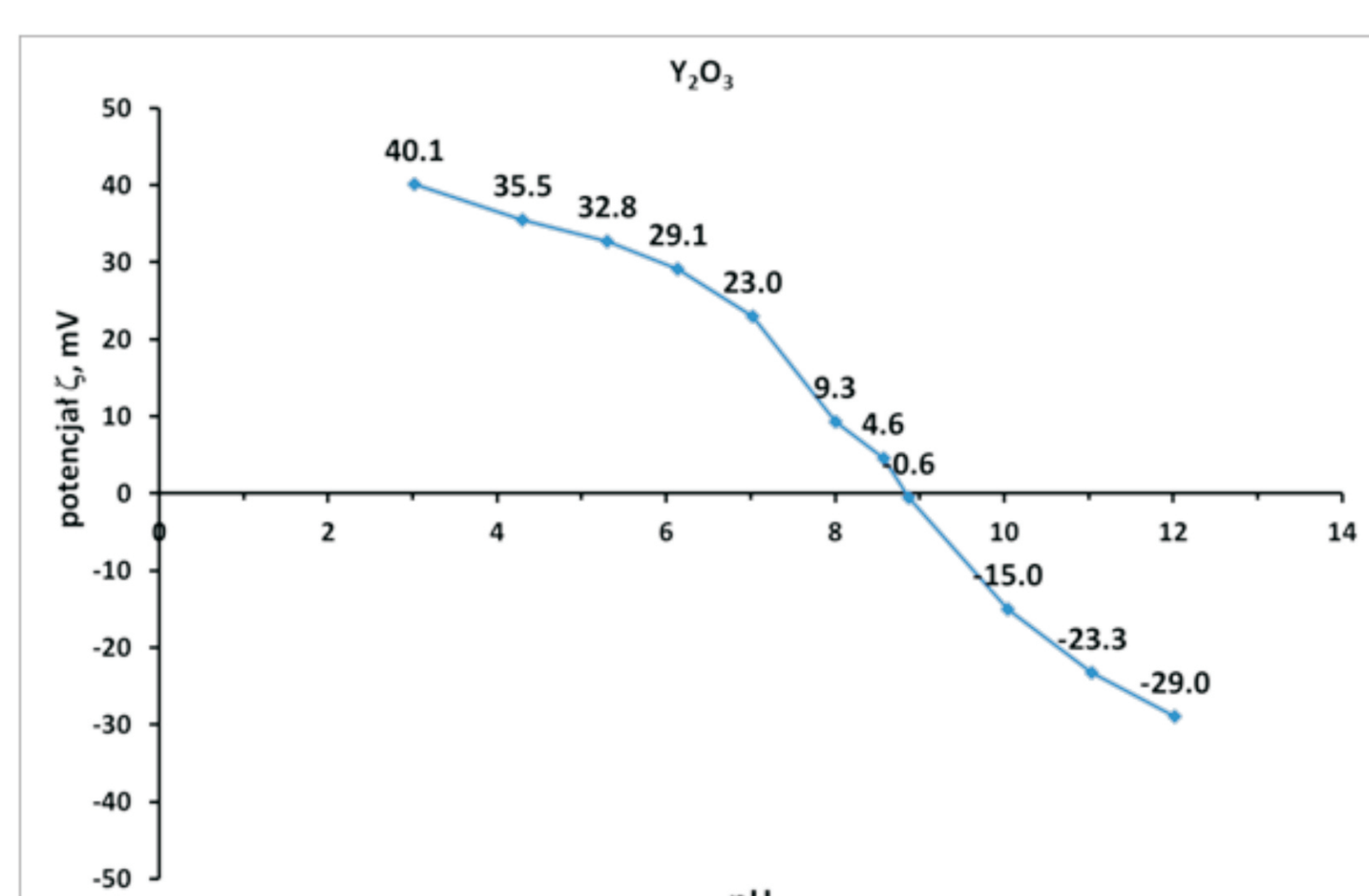
##### 1. Al<sub>2</sub>O<sub>3</sub> #325



### Podsumowanie badań dla Al<sub>2</sub>O<sub>3</sub> #325 / Al<sub>2</sub>O<sub>3</sub> Zeta Potential studies summary

a) W przypadku proszku Al<sub>2</sub>O<sub>3</sub> punkt izoelektryczny wynosił pH = 6,8  
Isoelectric point of Al<sub>2</sub>O<sub>3</sub> without deflocculants was 6.8  
b) W przypadku zmiany pH najwyższa (bez względna) wartość potencjału dzeta wynosiła -41,9 mV (pH=11).  
Highest (absolute) value of the zeta potential was: - 41.9 mV (pH=11).  
c) Upłynniciaczami, które w przypadku Al<sub>2</sub>O<sub>3</sub> działały najmniej efektywnie były: CS, Na<sub>2</sub>SiO<sub>4</sub>, Na<sub>2</sub>CO<sub>3</sub> i Polikol 1500.  
Deflocculants acting least efficient were: CS, Na<sub>2</sub>SiO<sub>4</sub>, Na<sub>2</sub>CO<sub>3</sub> and Polikol 1500.  
d) Najbardziej efektywnie działającymi upłynniciacami były:  
- Dispex N40, Duramax D-3005, a w dalszej kolejności:  
- Darvan 821A, Dispex A40.  
The most effectively deflocculants were: Dispex N40, Duramax D-3005, Darvan 821A and Dispex A40.  
e) Najwyższą (bez względna) wartość potencjału dzeta wynoszącą -67,4 mV uzyskano dla Reotan HS przy pH 11.  
Highest (absolute) value of Zeta Potential was: - 67.4 mV for Reotan HS (pH=11).

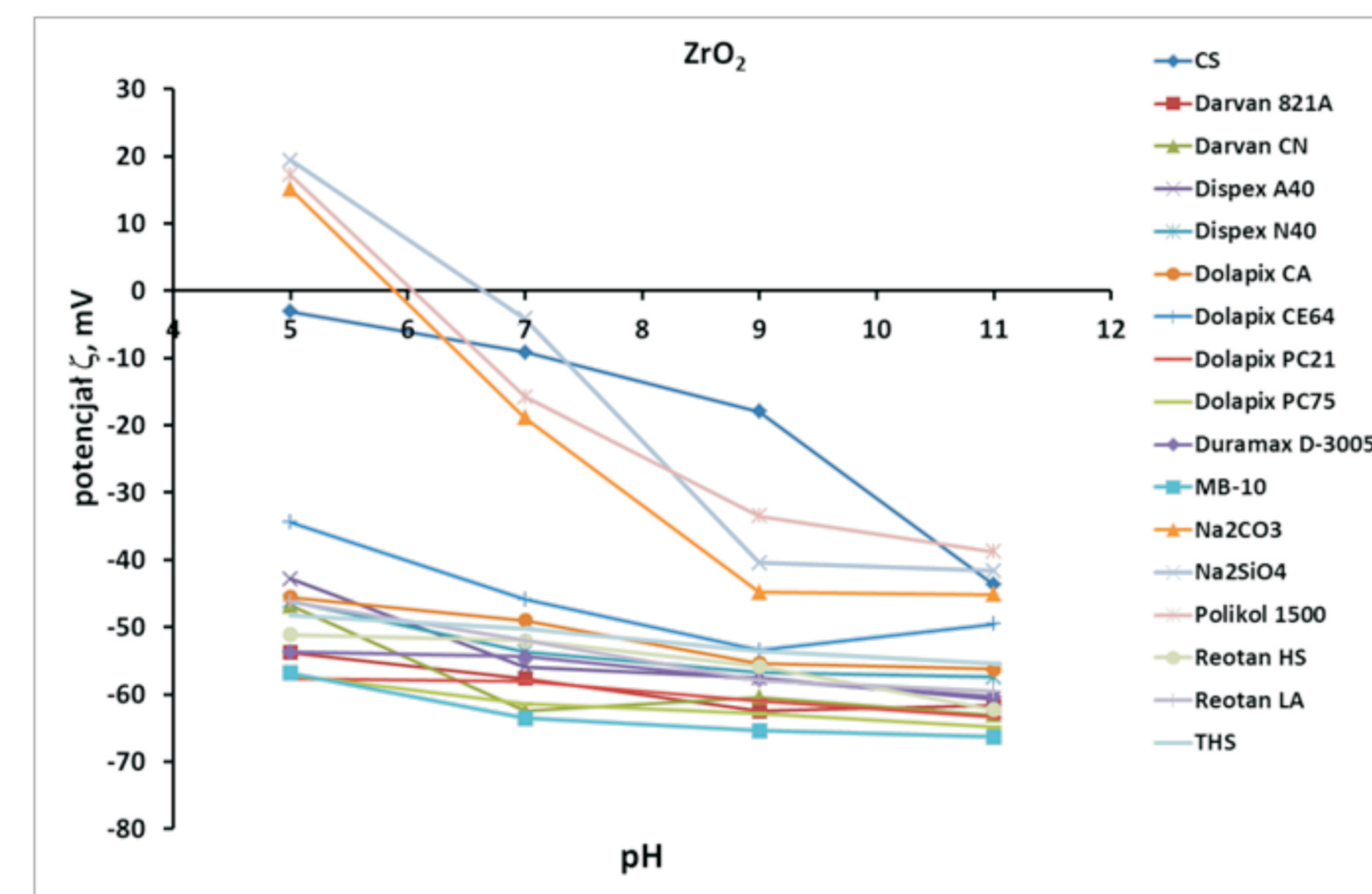
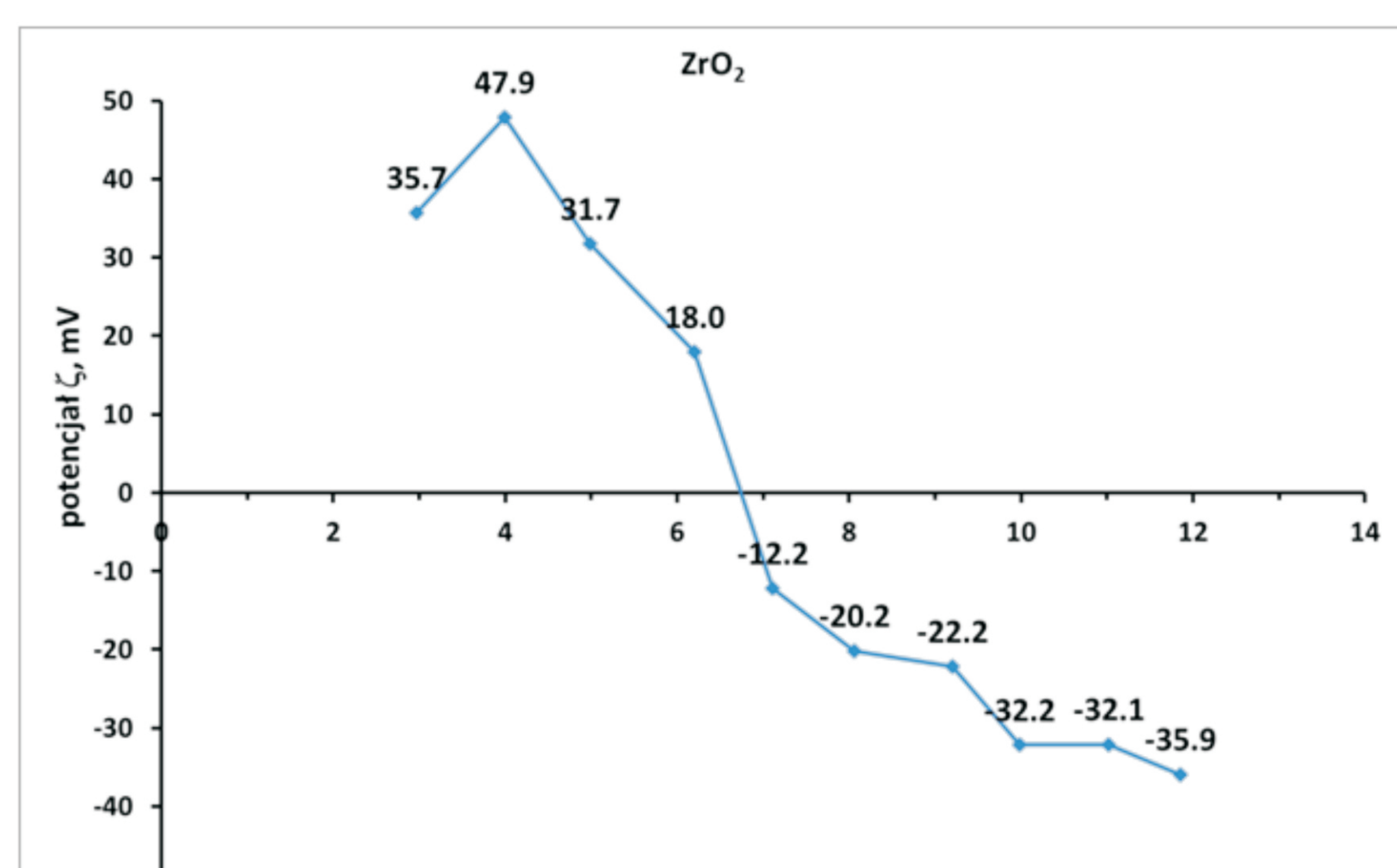
### 2. Y<sub>2</sub>O<sub>3</sub> #325



### Podsumowanie dla Y<sub>2</sub>O<sub>3</sub> / Y<sub>2</sub>O<sub>3</sub> Zeta Potential studies summary

a) W przypadku proszku Y<sub>2</sub>O<sub>3</sub> punkt izoelektryczny wynosił pH = 8,9.  
Isoelectric point of Y<sub>2</sub>O<sub>3</sub> without deflocculants was 8.9  
b) W przypadku zmiany pH najwyższa (bez względna) wartość potencjału dzeta wynosiła 40,1 mV (pH=5).  
Highest (absolute) value of the zeta potential was: - 40.1 mV (pH=5).  
c) Upłynniciaczami, które w przypadku Y<sub>2</sub>O<sub>3</sub> działały najmniej efektywnie były: CS, Na<sub>2</sub>SiO<sub>4</sub>, Na<sub>2</sub>CO<sub>3</sub> i Polikol 1500.  
Deflocculants acting least efficient were: CS, Na<sub>2</sub>SiO<sub>4</sub>, Na<sub>2</sub>CO<sub>3</sub> and Polikol 1500.  
d) Najbardziej efektywnie działającymi upłynniciacami były:  
- Dispex A40- Dispex N40- Dolapix PC21, - Duramax D-3005,  
The most effectively deflocculants were: Dispex A40, Dispex N40, Dolapix PC21, Duramax D-3005.  
e) Najwyższą (bez względna) wartość potencjału zeta wynoszącą -65,4 mV uzyskano dla Dispex N40 przy pH 11.  
Highest (absolute) value of Zeta Potential was: - 65.4 mV for Dispex N40 (pH=11).

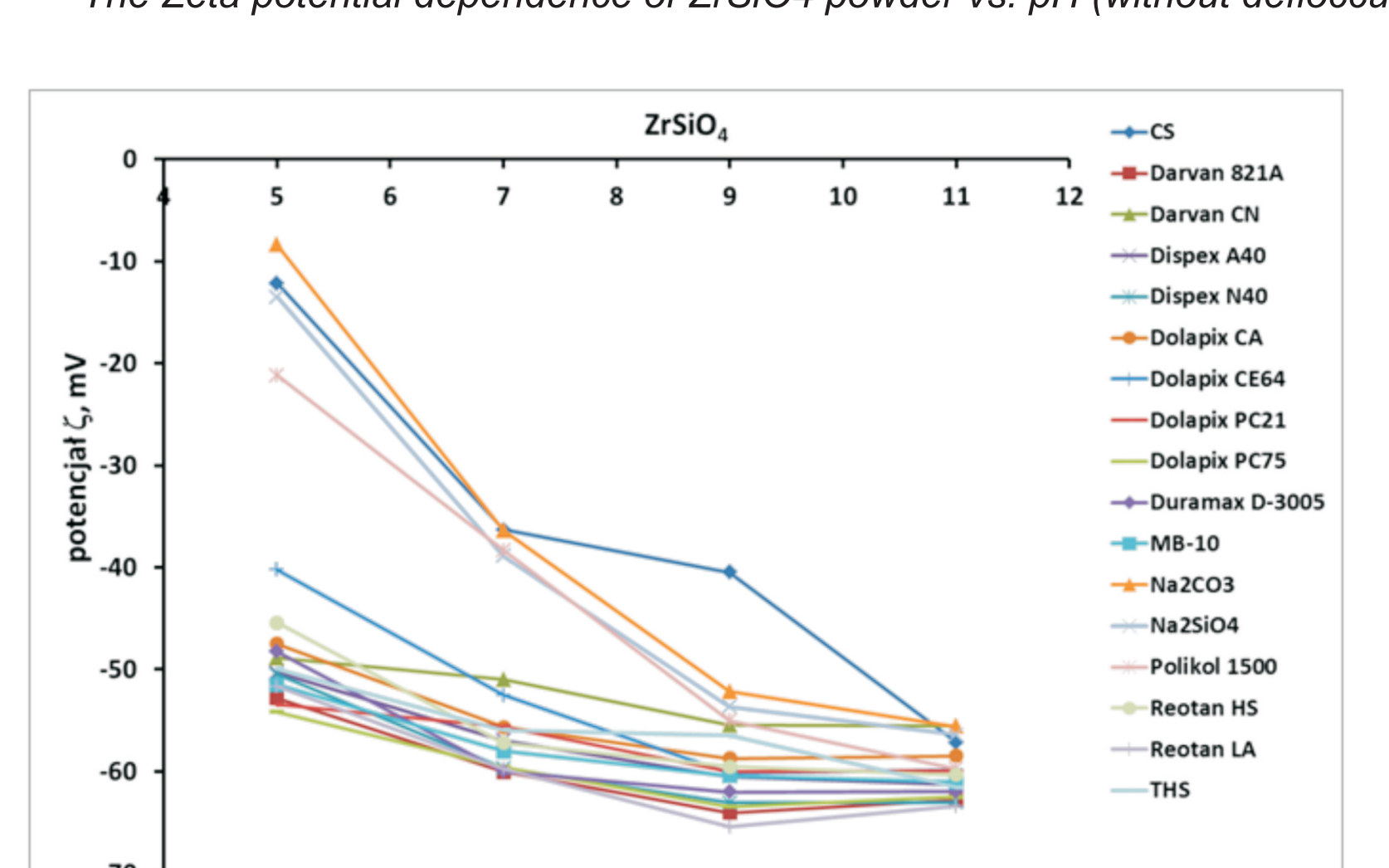
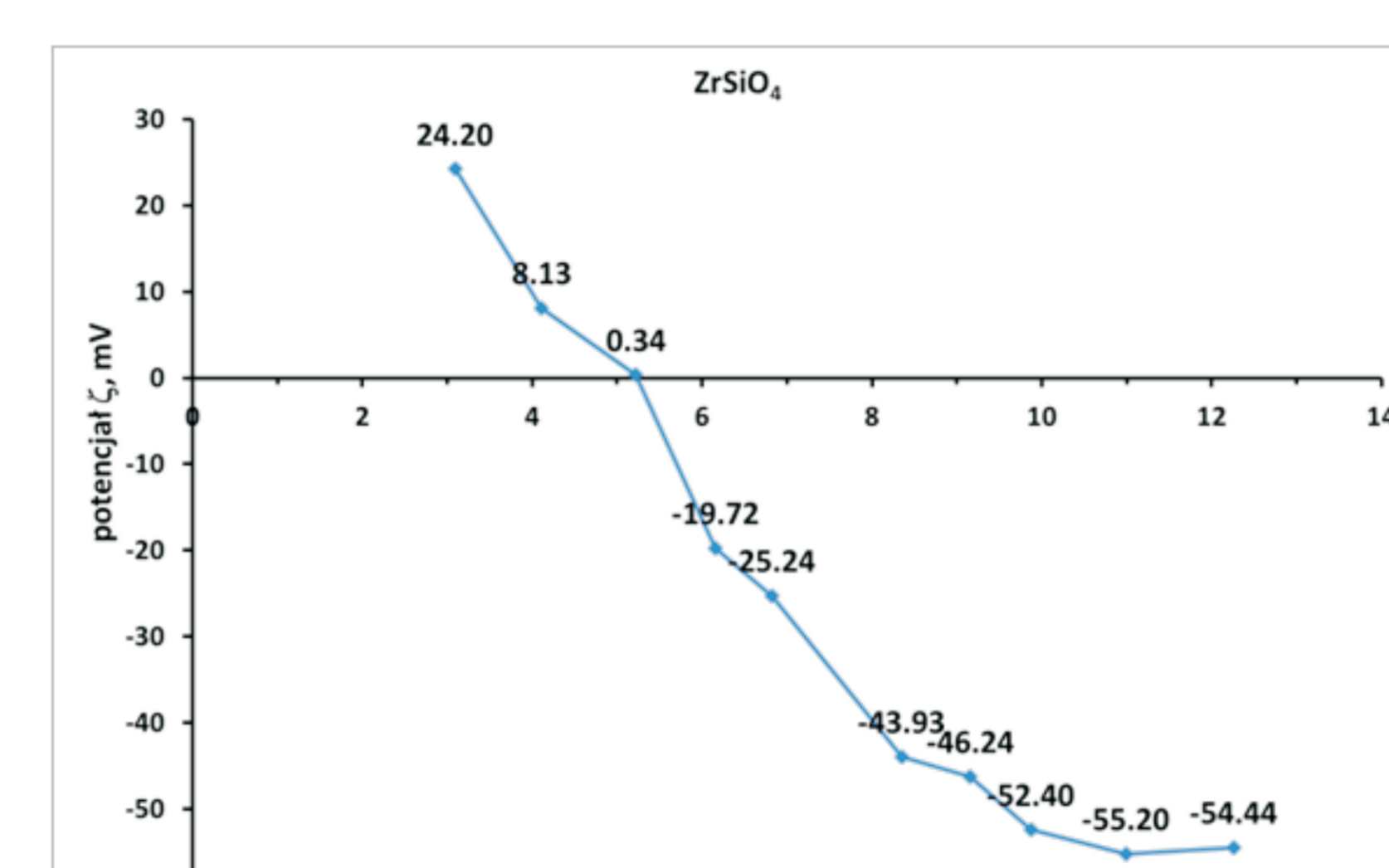
### 3. ZrO<sub>2</sub>, 0,4 - 0,6



### Podsumowanie dla ZrO<sub>2</sub> ZrO<sub>2</sub> Zeta Potential studies summary

a) W przypadku proszku ZrO<sub>2</sub> punkt izoelektryczny wynosił pH = 6,8.  
Isoelectric point of ZrO<sub>2</sub> without deflocculants was 6.8  
b) W przypadku zmiany pH najwyższa (bez względna) wartość potencjału dzeta wynosiła 47,9 mV (pH 4).  
Highest (absolute) value of the zeta potential was: - 47.9 mV (pH=4).  
c) Upłynniciaczami, które w przypadku ZrO<sub>2</sub> działały najmniej efektywnie były: CS, Na<sub>2</sub>SiO<sub>4</sub>, Na<sub>2</sub>CO<sub>3</sub> i Polikol 1500.  
Deflocculants acting least efficient were: CS, Na<sub>2</sub>SiO<sub>4</sub>, Na<sub>2</sub>CO<sub>3</sub> and Polikol 1500.  
d) Najbardziej efektywnie działającymi upłynniciacami były:  
- Dolapix PC21, - Dolapix PC75,- MB10,  
a w drugiej kolejności;  
- Darvan CN- Darvan 821A.  
The most effectively deflocculants were: Dolapix PC21, Dolapix PC75, MB10, Darvan CN, Darvan 821A.  
e) Najwyższą (bez względna) wartość potencjału dzeta wynoszącą -66,4 mV uzyskano dla MB10 przy pH 11.  
Highest (absolute) value of Zeta Potential was: - 66.4 mV for MB10 (pH=11).

### 4. ZrSiO<sub>4</sub>



### Podsumowanie dla ZrSiO<sub>4</sub> ZrSiO<sub>4</sub> Zeta Potential studies summary

a) W przypadku proszku ZrSiO<sub>4</sub> punkt izoelektryczny wynosił pH = 5,2.  
Isoelectric point of ZrSiO<sub>4</sub> without deflocculants was 5.2  
b) W przypadku zmiany pH najwyższa (bez względna) wartość potencjału dzeta wynosiła -54,4 mV (pH=4).  
Highest (absolute) value of the zeta potential was: - 54.4 mV (pH=4).  
c) Upłynniciaczami, które w przypadku ZrSiO<sub>4</sub> działały najmniej efektywnie były: CS, Na<sub>2</sub>SiO<sub>4</sub>, Na<sub>2</sub>CO<sub>3</sub> i Polikol 1500.  
Deflocculants acting least efficient were: CS, Na<sub>2</sub>SiO<sub>4</sub>, Na<sub>2</sub>CO<sub>3</sub> and Polikol 1500.  
d) Najbardziej efektywnie działającymi upłynniciacami były:  
- Darvan 821A, - Dolapix PC75,- Reotan LA  
a w drugiej kolejności;  
- Dispex N40-, Duramax D-3005,  
The most effectively deflocculants were: Darvan 821A, Dolapix PC75, Reotan LA, Dispex N40 and Duramax D-3005.  
e) Najwyższą (bez względna) wartość potencjału dzeta wynoszącą -63,4 mV uzyskano dla Reotan LA przy pH 11.  
Highest (absolute) value of Zeta Potential was: - 63.4 mV for Reotan LA (pH=11).

### Wskaźniki realizacji celów projektu Indicators of the project

#### Referaty:

1. M. Małek, P. Wiśniewski, H. Matysiak, K. J. Kurzydłowski, "Technological properties of ceramic slurries based on aluminium III oxide for ceramic shell moulds fabrication", Innovative Manufacturing Technology, 3-5.12.2014, Zakopane, Poland.
2. M. Małek, P. Wiśniewski, K. J. Kurzydłowski, "Technological properties comparison of ceramic shell moulds based on ethyl silicate and colloidal silica binders", 4th International Conference of Multifunctional, Hybrid and Nanomaterials, 9-13.03.2015, Sitges, Spain.
3. D. Jakubowska, M. Małek, P. Wiśniewski, J. Mizera, K. J. Kurzydłowski, "Characterization of Ceramic Slurries Based on Yttrium III Oxide For Investment Casting Process", APMAS2015, 16-19.04.2015, Oludeniz, Turkey.
4. J. Szymańska, M. Małek, P. Wiśniewski, J. Mizera, "Rheological Properties of Ceramic Slurries Based on Yttrium III Oxide for Ceramic Shell Moulds Preparation", Conference Aluminium 2000, 12-16.05.2015, Florencja, Italy.
5. D. Jakubowska, M. Małek, P. Wiśniewski, J. Mizera, K. J. Kurzydłowski, "Technological Properties and Characterization of Ceramic Slurries Based on Yttrium III Oxide for Shell Moulds Preparation", 17th International Conference on Materials Science and Engineering, 14-15.05.2015, Amsterdam, Netherlands

#### Publikacje

1. M. Małek, P. Wiśniewski, H. Matysiak, K. J. Kurzydłowski, "Technological properties of ceramic slurries based on aluminium III oxide for ceramic shell moulds fabrication", pp. 235-242, Mechanic 2/2015.
2. J. Szymańska, M. Małek, P. Wiśniewski, J. Mizera, "Rheological Properties of Ceramic Slurries Based on Yttrium III Oxide for Ceramic Shell Moulds Preparation", Conference Aluminium 2000 proceedings, (w druku/in printing)

#### Zgłoszenia patentowe

1. P. Wiśniewski, M. Małek, J. Mizera, K. J. Kurzydłowski, "Lejna mieszanka formierska do produkcji warstw ceramicznych form odlewniczych", P.411174 (2015).
2. P. Wiśniewski, M. Małek, J. Szymańska, J. Mizera, K. J. Kurzydłowski, "Lejna mieszanka formierska do produkcji warstw ceramicznych form odlewniczych", P.411191 (2015).
3. P. Wiśniewski, M. Małek, J. Mizera, K. J. Kurzydłowski, "Lejna mieszanka formierska do produkcji warstw ceramicznych form odlewniczych", P.411192 (2015)